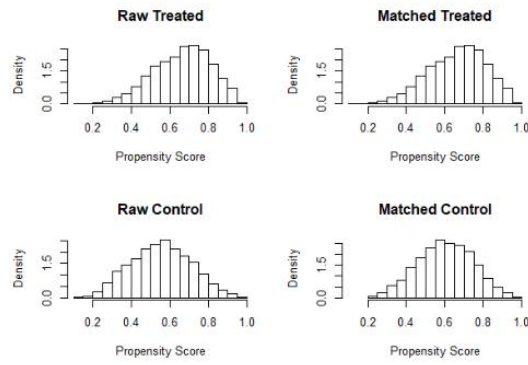
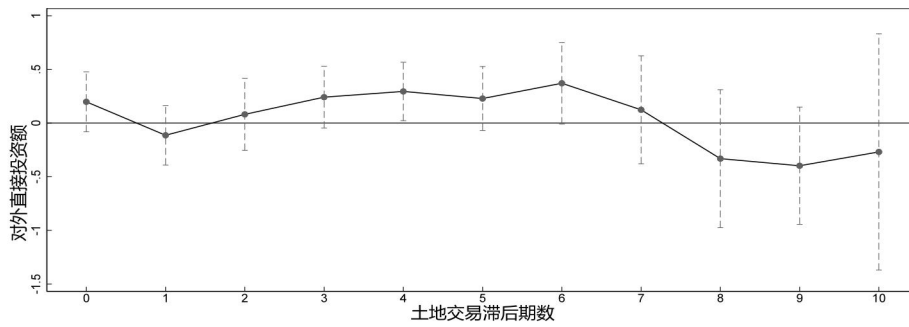


附图 1 主要思路及机制图

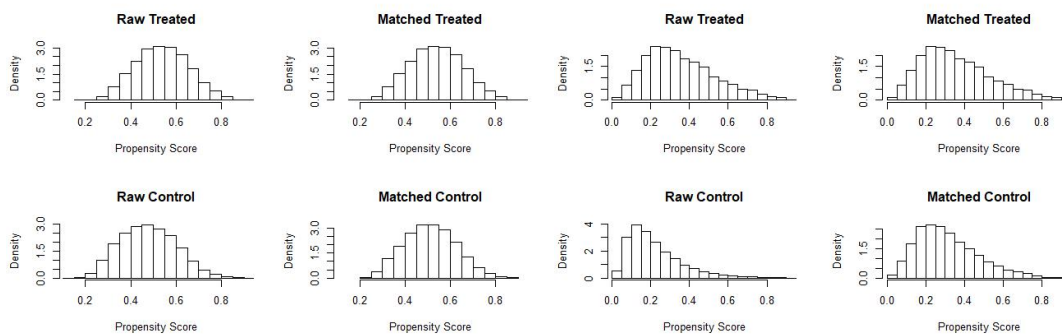


附图 2 遗传匹配后处理组与控制组的分布



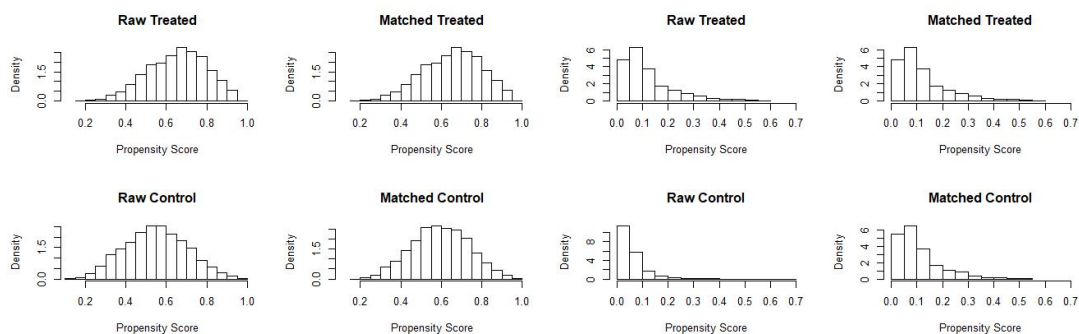
附图 3 动态性检验结果

注：虚线覆盖范围为 90% 的置信区间，对应式 (2)，回归使用聚类在企业层面的稳健标准误。



(a) 工业用地 (b) 非工业用地

附图4 工业与非工业用地遗传匹配后处理组与控制组的分布



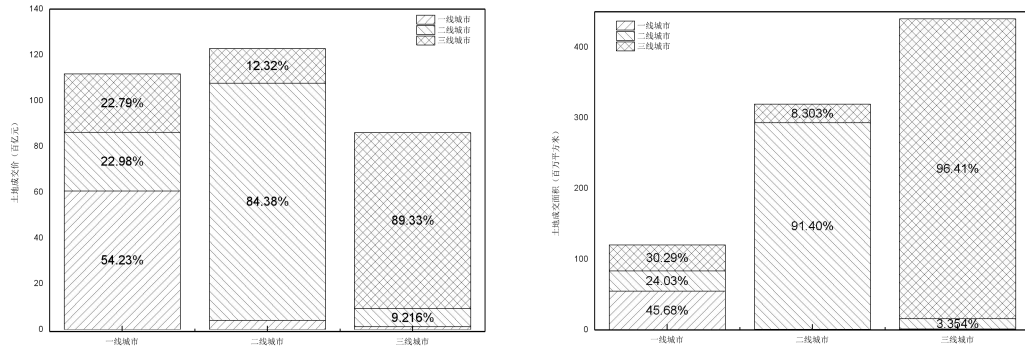
(a) “招拍挂” (b) 非“招拍挂”

附图5 “招拍挂”与非“招拍挂”用地遗传匹配后处理组与控制组的分布

附表1

稳健性检验结果

	<i>landprice(t-4)</i>	<i>lnofdi</i>	<i>lnofdiw</i>	<i>lnofdi</i>
	(1)	(2)	(3)	(4)
<i>landprice(t-4)</i>		1.828** (2.331)	0.200*** (3.008)	0.282*** (2.932)
<i>slope</i> × <i>CPI</i>	0.051*** (5.551)			
Under Identification Test		30.964		
Weak Identification Test		30.100		
控制变量	是	是	是	是
年份和行业交互固定效应	是	是	是	是
年份和省份交互固定效应	是	是	是	是
观测量	12315	12293	12309	8080



附图6 本地和异地购地占比组成

注：数据来源为国家信息中心土地市场数据库的微观地块交易数据，将地块层面的微观数据加总至企业层面，再合并到城市层面进行本异地购地分析；其中，横坐标列示的城市类别为企业所在城市区位，条形堆积部分为地块所在城市区位。